

## เอกสารอ้างอิง

- 1 Brooker, D. B., et al., Drying Cereal Grains, AVI Publ. Co. Inc., Westport, CT., 1974
- 2 สมบัติ ขอกวีพันนา, กรรมวิธีการอบแห้ง, ภาควิชาพัฒนาผลิตภัณฑ์ คณะอุตสาหกรรมเกษตร มหาวิทยาลัยเกษตรศาสตร์, 1983
- 3 White, A., "Batch Fluid Bed Drying." Food Processing, UK 52(3):37-39, 1983
- 4 Daizo Kunii and Octave Levenspiel Fluidization Engineering. pp 534, Robert E. Krieger Co., INC ., 1977
- 5 Sloan, C. E., T. D. Wheelock and G. T. Tsao "Drying ." Chem. Eng. June 19:167-214 , 1967
- 6 Keey, R. B., Drying Principles and Practice Pergamon Press 358 p , 1975
- 7 Lydersen, A. L., Mass Transfer in Engineering Practice John & Wiley Sons , 1983
- 8 Chen, C. S. and W. H. Johnson " Kinetics of Moisture Movement in Hygroscopic Material 1. Theoretical Consideration of Drying Phenomena." Trans. ASAE. 12(4):109-113 , 1969
- 9 Chen, C. S. and W. H. Johnson " Kinetics of Moisture Movement in Hygroscopic Material 2.. An Application to Foliar Material. " Trans. ASAE. 12(4):478-481, 1969
- 10 McCabb, W. L. and J. C. Smith, Unit Operations of Chemical Engineering . McGraw-Hill, 1984
- 11 Perry, R. H. and D. Green, Perry's Chemical Engineering Handbood. 6th ed., McGraw-Hill, 1984
- 12 Fortes, M. and M. R. Okos, " A Non-Equilibrium Theramodynamics Approach to Transport Phenomena in Capillary Porous Media. " Trans. ASAE. 756-760, 1981

- 13 Fortes, M. and M. R. Okos, " Non-Equilibrium Thermodynamics Approach to Heat and Mass Transfer in Corn Kernel. " Trans. ASAE. 761-769, 1981
- 14 Van Rest David and G. W. Isaacs, " Exposed - Layer Drying Rates of Small Grain. " Trans. ASAE. 9(5):688-689, 1966
- 15 Thomson, T. L., R. M. Peart and G. H. Foster " Mathematical Simulation of Corn Drying - A New Model. " Trans. ASAE. 582-586, 1968
- 16 Misra, M. K. and D. B. Brooker, " Thin - Layer Drying and Rewetting Equation for Shelled Yellow Corn. " Trans. ASAE. 1254-1260 , 1980
- 17 Hustrulid Andrew, " Comparative Drying Rates of Naturally Moist, Remoistened and Frozen Shelled Corn. " Trans. ASAE. 5(1):64-67 , 1962
- 18 Chittenden, D. H., and A. Hustrulid, " Determining Drying Constants for Shelled Corn. " Trans. ASAE. 9(1):52-55, 1966
- 19 Syarief, A. M., R. J. Custafson and R. V. Morey, " Moisture Diffusion Coefficients for Yellow - Dent Corn Components." Trans. ASAE. 30(2):522-528, 1987
- 20 Ibrahim, S. H., " Heat and Mass Transfer " AICHEMI Series B : Stagewise and Mass Transfer Operation. Vol. 4 ,pp. 56-78, 1983
- 21 Temesvari, Janos, " Examination of The Peroxidase Activity of Maize in The Drying Process." Elelmiszervizsgalati Kozl. 32(3):138-149, 1986
- 22 Gunasekaran, S. and M. R. " Breakage Resistance of Corn as A Function of Drying Rates. " Trans. ASAE. 28(6):2071-2076, 1985
- 23 Pistas, O. " Corn - The Main Component of Mixed Feed. " Krmivarstvi Sluzby 15(9):198-201 , 1979

- 24 Tollier, Marie T., et al., "Effect of Different Storage and Drying Condition on Certain Constituents in Corn." Conserv. Grains Recoltes Humides, Symp. Int., 287-292, 1973
- 25 Mercier, C., et al., "Effect of Prestorage Condition and Artificial Drying of Corn on The Extraction of Starch and Some of Its Physicochemical and Biochemical Properties." Tech. Ind. Cerealieres., 154:7-15, 1976
- 26 Roushdi, M., Y. Ghali and A. Hassaneanet "Factor Improving the Steepin Process of Corn Grains Part 1. Effect of Steeping Process, Artificial Drying, Scratching and Storage." Starch/Staerke 31(3):78-81, 1979
- 27 Thormaehlen, M., "Changes of Reserve Carbohydrate under Different Preserving Methods for Kernel Corn." Uebers. Tierernaehr., 7(2):176-179, 1979
- 28 Bender, E. Arnold, Food Processing and Nutrition., Academic Press INC, (LONDON) LTD ., 1978
- 29 Deubelius, I., "Change in The Protein Quality of Corn with Different Drying Conditions." Getreide, Mehl Brot., 32(9):233-236 , 1978
- 30 Deubelius, I., "Change in The Protein Quality of Shelled Corn as A Result of Different Drying Conditions." Ber. Getreidechem.-Tag., Detmold,, 128-134, 1978
- 31 Huss, W., et al., "Analytical and Experimental Animal Studies for Evaluation of Corn Protein Quality after Different Drying Treatments. 1. Methods and Materials." Z.Tierphysiol., Tierernaehr. Futtermittelkd. 47(2):53-65, 1982
- 32 Huss, W., et al., "Evaluation of Corn Protein Quality by Analytical and Experimental Animal Studies after Different Drying Treatments. 3. Effect of Maturity and Moisture Content of Corn Kernels on Changes of Protein Quality."

- Z.Tierphysiol.Tierernaehr.Futtermittelkd., 47(3):113-121,  
1982
- 33 Huss, W., et al., " Evaluation of Corn Protein Quality by  
Analysis and Experimental Animal Studies after Different  
Drying Treatments. 4. Mathematical Description of The  
Interrelation between Protein Quality and Drying Conditions.  
Z.Tierphysiol.Tierernaehr.Futtermittelkd., 47(3):122-131,  
1982
- 34 Strehler, " Determination of The Optimum Drying Air Temperatures  
for Dryinfg Maize for Animal Feeding. " Grundlagen der  
Landtechnik. 25(6):189-192 , 1975
- 35 Lund, D. B., " Symposium 1. Effects of Heat Processing. "  
Food Tech., Jan. 1973 18-19, 1973
- 36 Jindal, V. K. and T. J. Siebenmorgen, " Effect of Oven Drying  
Temperature and Drying Time on Rough Rice Moisture Content  
Determination. " Trans. ASAE. 30(4):1185-1192, 1987
- 37 Watson, C. A., Greenaway, W. T., Davis, G. and R. J. McGinty,  
" Rapid Proximate Method for Determining Moisture Content  
of Single Kernels of Corn. " Cereal Chem. 56(3):137-140,  
1979
- 38 Stuart, O. Nelson, " Moisture - Dependent Kernel and Bulk -  
Density Relationship for Wheat and Corn. " Trans. ASAE.  
139-143, 1980
- 39 Obi, I. U., " Application of the 2,4,6-Trinitrobenzene-1-  
Sulfonic Acid (TNBS) Method for Determiation of Available  
Lysine in Maize Seed. " Agric. Biol. Chem. 46(1):15-20,  
1982
- 40 Henderson, S. M., " Progress in Developing the Thin Layer  
Drying Equation. " Trans. ASAE. 1167-1168,1172 , 1974
- 41 Sokhansanj, S. and Cenfan, S., " Equipment and Methods of  
Thin-Later Drying A Review. " Drying'88 (Arun S. Mujumdar)  
pp. 159-170, Hemisphere Publishing Corporation , 1988

- 42 Giner, S. A. and Calvelo, A., "Modelling of Wheat Drying in Fluidized Beds." J. Food Sci. 52(5):1358-1363, 1987
- 43 Flink, J. M., "Energy Analysis in Dehydration Processes." Food Tech. 77-84, 1977
- 44 Brown, G. G., et al., Unit Operation John Willy and Son, New York, 1950

## ภาคผนวกที่ 1

### การหาคุณสมบัติทางกายภาพของเบด

1. การหาสัดส่วนของช่องว่าง (void fraction) และความเป็นทรงกลม (sphericity) ของเมล็ดข้าวโพด

ปริมาตรของ xylene ก่อนผสม	=	46 มิลลิลิตร
ปริมาตรของข้าวโพดและช่องว่าง	=	100 มิลลิลิตร
ปริมาตรหลังผสม	=	104 มิลลิลิตร
ดังนั้น สัดส่วนของช่องว่างของเบด	=	<u><math>\frac{100 + 46 - 104}{100}</math></u>
		0.42
เมล็ด	$e_m$	= 0.42
จะได้ความเป็นทรงกลม (44)	=	0.877

2. การหาเส้นผ่าศูนย์กลางของทรงกลมที่มีปริมาตรเทียบเท่าเมล็ดข้าวโพด

ปริมาตรของข้าวโพดและช่องว่าง	=	100 มิลลิลิตร
จำนวนอนุภาคของข้าวโพด	=	258 อนุภาค
ปริมาตรของข้าวโพด	=	จำนวนอนุภาค $\times \frac{\pi d_p^3}{6}$
		6
	=	ปริมาตรของข้าวโพดและช่องว่าง $\times (1 - e_m)$
$258 \times \frac{\pi d_p^3}{6}$	=	$100 \times (1 - 0.42)$
$d_p^3$	=	0.429
$d_p$	=	0.75 เมตร

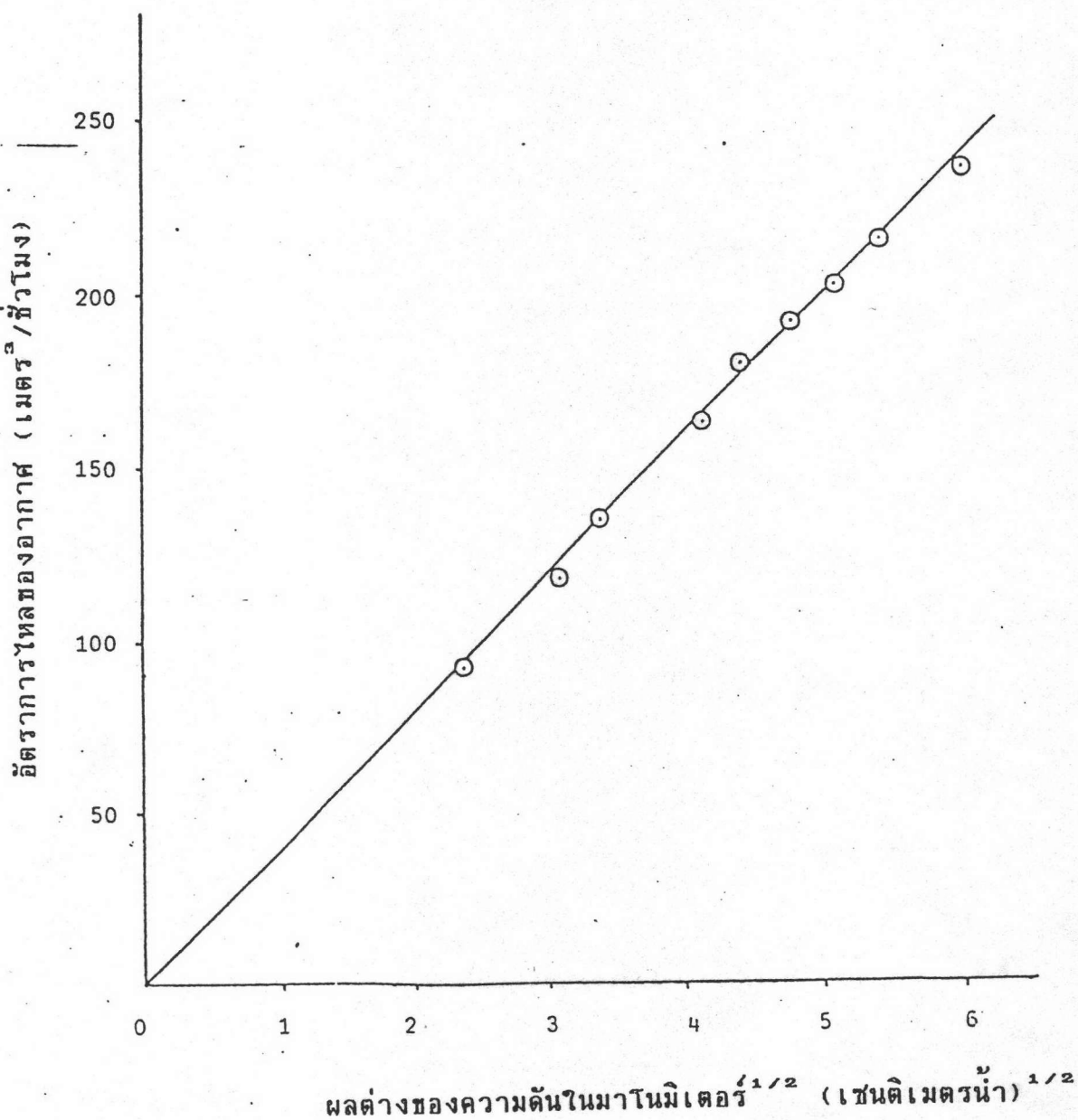
ภาคผนวก 2

ตารางที่ 1 แสดงผลการทดลองหาค่าความเร็วต่ำสุด ของการเกิดฟลูอิดไซด์  
ของข้าวโพด

ความเร็วของอากาศ (เซนติเมตร/วินาที)	ผลต่างของความดัน (มม. ของน้ำ)			
	200 กรัม	400 กรัม	600 กรัม	800 กรัม
60	3	6	8	13
84	5	10	16	20
119	11	23	35	46
140	15	31	46	61
188	15	39	54	83
230	-	-	-	82
266	22	42	63	88
326	23	45	65	90
376	25	48	67	91
420	24	47	69	90
461	25	48	70	
498	27	50	72	
532	27	50		
564	28			

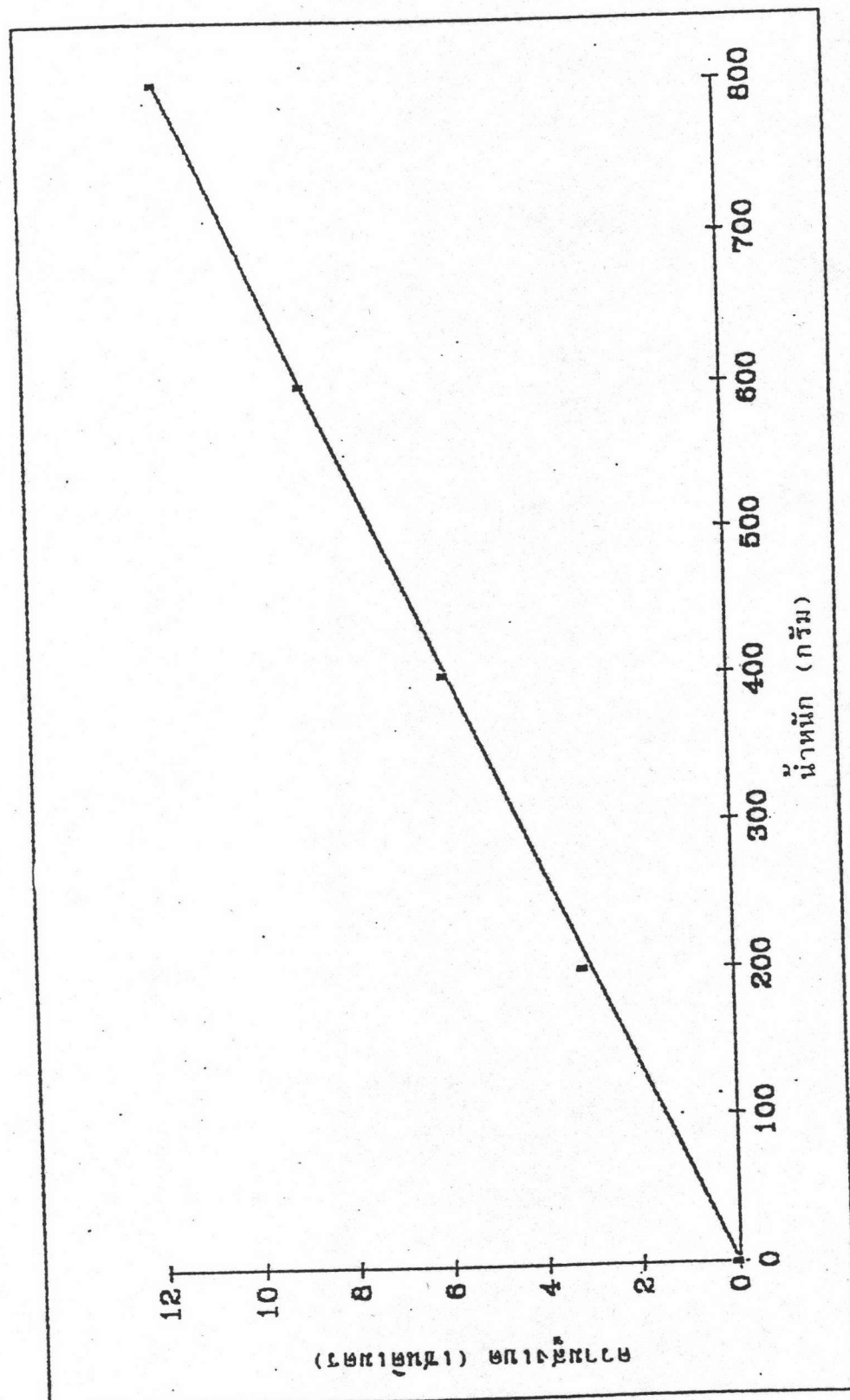
ภาคผนวก 3

แสดงความสัมพันธ์ระหว่างอัตราการไหลของอากาศกับผลต่างของความดันในนาโนมิเตอร์ (ความดัน 1 บาร์ยกากศ อุณหภูมิอากาศ  $25^{\circ}\text{C}$ )



ภาคผนวก 4

แสดงความสัมพันธ์ระหว่างน้ำหนักข้าวโพดและความชื้นเบค



ภาคผนวก 5

ตารางที่ 1 ผลการทดลองของข้าวโพด ที่อุณหภูมิ 60 °C  
ความชื้นสัมพัทธ์ของอากาศ 60-65 %

ความเร็วอากาศ (เมตร/วินาที)	เวลา (นาที)	ปริมาณความชื้น (% w.b.)			
		3 ซม.	6 ซม.	9 ซม.	12 ซม.
2.66	0	27.12	23.42	23.38	23.47
	5	23.80	20.57	22.20	21.75
	10	22.83	19.36	19.89	20.41
	15	20.83	18.12	18.65	19.03
	20	20.41	-	17.70	18.55
	25	-	17.00	-	-
	30	17.12	-	15.89	17.43
	40	14.95	14.32	-	-
	45	-	-	14.52	14.92
	50	14.29	-	-	-
	55	-	12.38	-	-
	60	-	-	12.76	13.51

ตารางที่ 1 ผลการทดลองของเหงงข้าวโพด ที่อุณหภูมิ  $60^{\circ}\text{C}$  (ต่อ)

ความชื้นสัมพัทธ์ของอากาศ 64-68 %

ความเร็วอากาศ (เมตร/วินาที)	เวลา (นาที)	ปริมาณความชื้น (% w.b.)			
		3 ชม.	6 ชม.	9 ชม.	12 ชม.
3.26	0	28.01	24.78	26.01	26.08
	5	25.62	22.39	23.29	24.52
	10	24.18	21.06	21.50	22.73
	15	20.55	19.20	20.53	21.03
	20	19.73	17.68	18.71	-
	25	-	-	-	20.15
	30	18.17	16.05	17.38	-
	35	-	-	-	17.38
	40	15.64	14.55	15.21	-
	45	-	-	-	16.62
	50	14.26	13.59	-	-
	55	-	-	13.34	-
	60	-	-	-	14.02

ตารางที่ 1 ผลการทดลองบนห้องข้าวโพด ที่อุณหภูมิ 60 °C (ต่อ)  
ความชื้นสัมพัทธ์ของอากาศ 60-68 %

ความเร็วอากาศ (เมตร/วินาที)	เวลา (นาที)	ปริมาณความชื้น (% w.b.)			
		3 ชม.	6 ชม.	9 ชม.	12 ชม.
3.76	0	24.99	24.56	25.06	23.18
	5	22.22	20.87	22.04	21.51
	10	21.02	19.04	21.86	20.80
	15	19.54	18.51	20.36	18.88
	20	18.19	17.05	19.52	17.95
	30	16.20	16.58	16.42	16.53
	40	14.57	15.88	15.60	15.87
	50	13.72	13.07	14.08	13.72
4.20	0	25.35	24.32	23.75	24.76
	5	22.00	21.48	21.27	21.38
	10	20.72	20.53	20.19	21.05
	15	20.20	18.74	19.30	20.40
	20	16.26	17.56	18.93	18.61
	30	15.07	16.16	15.77	16.96
	40	14.81	13.80	14.01	15.95
	50	12.89	12.66	13.28	14.95

ตารางที่ 2 ผลการทดลองของแท่งข้าวโพด ที่อุณหภูมิ  $70^{\circ}\text{C}$   
ความชื้นสัมพัทธ์ของอากาศ 60-65 %

ความเร็วอากาศ (เมตร/วินาที)	เวลา (นาที)	ปริมาณความชื้น (% w.b.)			
		3 ชม.	6 ชม.	9 ชม.	12 ชม.
2.66	0	23.40	24.72	24.12	23.62
	5	20.26	22.34	20.29	20.52
	10	19.11	21.43	19.46	19.60
	15	17.80	18.14	18.65	18.32
	20	15.64	16.15	16.88	16.98
	25	15.20	16.28	15.25	16.87
	35	14.38	13.74	15.41	15.05
	45	11.43	13.70	12.40	14.90
3.26	0	26.38	24.82	26.58	23.94
	5	23.32	22.79	23.75	21.42
	10	21.32	20.04	21.45	20.10
	15	19.41	18.87	19.91	18.19
	20	18.35	18.05	18.71	17.12
	25	15.94	16.58	17.89	16.39
	35	15.20	13.93	15.78	15.50
	45	13.98	12.88	14.66	13.73

ตารางที่ 2 ผลการทดลองของน้ำแข็งข้าวโพด ที่อุณหภูมิ 70 °C (ต่อ)  
ความชื้นสัมพัทธ์ของอากาศ 70-75 %

ความเรื้อรากาศ (เมตร/วินาที)	เวลา (นาที)	ปริมาณความชื้น (% w.b.)			
		3 ชม.	6 ชม.	9 ชม.	12 ชม.
3.76	0	25.42	24.30	25.26	21.61
	5	23.68	23.32	21.38	20.38
	10	22.04	20.10	21.30	18.82
	15	18.19	18.91	18.72	17.49
	20	17.05	18.33	17.08	16.74
	25	16.67	15.41	16.87	15.34
	35	15.25	13.82	15.59	14.10
	45	13.19	13.10	14.23	13.24
4.20	0	25.45	25.01	25.38	24.20
	5	22.25	21.72	22.06	22.35
	10	19.03	19.73	20.65	20.84
	15	18.67	17.84	19.43	18.90
	20	16.39	17.33	18.99	18.25
	25	15.63	17.22	16.04	16.63
	35	14.65	14.53	15.26	15.62
	45	12.35	12.88	14.22	12.85

ตารางที่ 3 ผลการทดลองอบแห้งข้าวโพด ที่อุณหภูมิ 80 °C  
ความชื้นสัมพัทธ์ของอากาศ 72-80 %

ความเร็วอากาศ (เมตร/วินาที)	เวลา (นาที)	ปริมาณความชื้น (% w.b.)			
		3 ชม.	6 ชม.	9 ชม.	12 ชม.
2.66	0	26.67	24.04	22.49	23.27
	5	23.28	19.94	19.92	22.67
	10	21.56	17.99	19.41	18.05
	15	17.25	16.32	17.51	17.57
	20	16.14	15.18	16.73	16.17
	25	14.78	13.79	14.45	14.94
	30	13.49	12.93	13.03	14.04
	35	13.04	11.47	12.69	13.50
3.26	0	25.67	25.78	24.17	23.58
	5	21.24	22.77	20.90	21.63
	10	19.32	19.49	19.52	19.56
	15	17.72	17.70	17.95	17.28
	20	15.92	16.04	16.58	16.70
	25	13.85	14.76	15.64	16.02
	30	13.81	14.42	14.46	15.32
	35	13.26	12.96	13.66	13.04

ตารางที่ 3 ผลการทดลองอบแห้งข้าวโพด ที่อุณหภูมิ  $80^{\circ}\text{C}$  (ต่อ)  
ความชื้นสัมพัทธ์ของอากาศ 60-67 %

ความเร็วอากาศ (เมตร/วินาที)	เวลา (นาที)	ปริมาณความชื้น (% w.b.)			
		3 ชม.	6 ชม.	9 ชม.	12 ชม.
3.76	0	26.66	26.20	22.97	23.76
	5	23.24	22.64	20.43	20.03
	10	20.50	21.31	18.61	19.63
	15	19.13	18.30	18.29	18.97
	20	16.90	16.81	16.46	16.37
	25	15.77	15.50	14.62	15.20
	30	14.85	14.82	14.89	15.12
	35	13.19	13.44	13.52	14.18
4.20	0	26.86	26.92	25.24	24.47
	5	23.41	23.46	23.39	21.17
	10	21.44	20.74	20.33	19.52
	15	18.55	17.50	19.19	19.15
	20	16.37	16.37	17.26	17.27
	25	14.69	14.99	16.40	16.10
	30	13.21	14.91	14.01	14.13
	35	12.65	13.07	13.37	13.04

ตารางที่ 4 ผลการทดลองของแบบหังษาระบด ที่อุณหภูมิ  $90^{\circ}\text{C}$   
ความชื้นสัมพัทธ์ของอากาศ 63-70 %

ความเร็วอากาศ (เมตร/วินาที)	เวลา (นาที)	ปริมาณความชื้น (% w.b.)			
		3 ชม.	6 ชม.	9 ชม.	12 ชม.
2.66	0	24.21	23.19	24.09	22.52
	4	19.95	18.96	19.57	18.87
	8	17.53	16.89	18.11	17.22
	12	15.29	15.10	16.74	15.20
	16	13.73	14.09	14.59	14.33
	20	12.46	13.75	14.02	13.75
3.26	0	26.12	24.00	22.26	21.72
	4	21.71	20.06	17.96	18.77
	8	18.26	18.03	17.20	16.80
	12	16.08	15.90	15.17	15.78
	16	14.46	14.48	14.38	13.10
	20	13.19	12.60	12.24	12.50

ตารางที่ 4 ผลการทดลองของแบบหัวข่าวโพด ที่อุณหภูมิ  $90^{\circ}\text{C}$  (ต่อ)  
ความชื้นสัมพัทธ์ของอากาศ 63-65 %

ความเรื้องอากาศ (เมตร/วินาที)	เวลา (นาที)	ปริมาณความชื้น (% w.b.)			
		3 ชม.	6 ชม.	9 ชม.	12 ชม.
3.76	0	25.15	24.69	23.62	23.05
	4	21.28	20.65	20.13	20.12
	8	18.15	19.34	16.94	16.60
	12	17.07	15.95	16.28	15.51
	16	14.65	14.68	15.40	15.13
	20	14.15	13.89	13.86	14.13
4.20	0	27.34	25.42	26.24	25.40
	4	23.54	21.73	22.56	22.20
	8	20.41	19.30	20.58	20.69
	12	17.55	17.70	18.72	17.68
	16	15.54	16.00	16.09	17.27
	20	14.52	14.38	15.85	14.89

ตาราง 5 ค่าคงที่ของอัตรา (Rate Constant) ที่สภาวะต่าง ๆ

ความเร็วอากาศ (เมตร/วินาที)	ความสูงเบด (เซนติเมตร)	อุณหภูมิ (°C)			
		60	70	80	90
2.66	3	0.025	0.027	0.036	0.053
2.66	6	0.022	0.026	0.035	0.045
2.66	9	0.020	0.026	0.027	0.044
2.66	12	0.018	0.021	0.026	0.041
3.26	3	0.027	0.027	0.034	0.054
3.26	6	0.025	0.026	0.033	0.048
3.26	9	0.023	0.024	0.027	0.044
3.26	12	0.020	0.022	0.025	0.042
3.76	3	0.024	0.026	0.032	0.047
3.76	6	0.023	0.025	0.031	0.045
3.76	9	0.022	0.024	0.025	0.042
3.76	12	0.019	0.020	0.025	0.040
4.20	3	0.026	0.029	0.035	0.050
4.20	6	0.025	0.026	0.034	0.043
4.20	9	0.022	0.024	0.028	0.041
4.20	12	0.020	0.023	0.027	0.039

ภาคผนวก 6

ตารางที่ 1 แสดงค่าประสิทธิภาพทางความร้อน และปริมาณไอลชีน ภายหลังการอบแห้งที่สภาวะต่าง ๆ

อุณหภูมิ (°C)	สภาวะอบแห้ง		ประสิทธิภาพทาง ความร้อน (%)	ปริมาณไอลชีนที่เหลือ ภายหลังการอบแห้ง (%)
	ความเร็วอากาศ (เมตร/วินาที)	ความสูงเบด (เซนติเมตร)		
60	2.66	3	6.45	93.43
60	2.66	6	10.15	95.47
60	2.66	9	13.44	88.18
60	2.66	12	16.87	96.06
60	3.26	3	5.59	94.60
60	3.26	6	9.32	95.62
60	3.26	9	14.02	99.27
60	3.26	12	16.33	99.12
60	3.76	3	4.08	91.68
60	3.76	6	8.23	96.35
60	3.76	9	11.97	94.31
60	3.76	12	14.29	96.35
60	4.20	3	3.94	89.93
60	4.20	6	7.44	94.74
60	4.20	9	10.26	94.89
60	4.20	12	13.17	94.89

ตารางที่ 1 แสดงค่าประสิทธิภาพทางความร้อน และปริมาณไอลซีน ภายหลังการอบแห้งที่สภาวะต่าง ๆ (ต่อ)

สภาวะอบแห้ง			ประสิทธิภาพทางความร้อน (%)	ปริมาณไอลซีนที่เหลือภายหลังการอบแห้ง (%)
อุณหภูมิ (°C)	ความเร็วอากาศ (เมตร/วินาที)	ความสูงเบด (เซนติเมตร)		
70	2.66	3	5.16	91.75
70	2.66	6	9.81	93.00
70	2.66	9	15.26	92.04
70	2.66	12	16.56	88.83
70	3.26	3	4.42	93.36
70	3.26	6	8.49	88.00
70	3.26	9	12.52	93.21
70	3.26	12	15.08	91.75
70	3.76	3	3.75	91.46
70	3.76	6	6.97	89.00
70	3.76	9	10.43	91.31
70	3.76	12	10.85	88.83
70	4.20	3	3.54	89.85
70	4.20	6	6.68	96.13
70	4.20	9	9.49	89.56
70	4.20	12	12.63	89.00

ตารางที่ 1 แสดงค่าประสิทธิภาพทางความร้อน และปริมาณไอลีชีน ภายหลังการอบแห้งที่สภาวะต่าง ๆ (ต่อ)

สภาวะอบแห้ง			ประสิทธิภาพทางความร้อน (%)	ปริมาณไอลีชีนที่เหลือภายหลังการอบแห้ง (%)
อุณหภูมิ (°C)	ความเร็วอากาศ (เมตร/วินาที)	ความสูงเบด (เซนติเมตร)		
80	2.66	3	6.19	72.41
80	2.66	6	11.45	72.41
80	2.66	9	14.43	72.41
80	2.66	12	19.27	70.77
80	3.26	3	5.00	69.61
80	3.26	6	9.66	77.08
80	3.26	9	11.50	69.37
80	3.26	12	16.53	70.54
80	3.76	3	4.36	70.07
80	3.76	6	8.37	66.68
80	3.76	9	10.05	70.07
80	3.76	12	13.60	70.07
80	4.20	3	4.05	64.70
80	4.20	6	7.96	65.40
80	4.20	9	10.61	67.74
80	4.20	12	13.68	69.37

ตารางที่ 1 แสดงค่าประสิทธิภาพทางความร้อน และปริมาณไอลีชีน ภายหลัง การอบแห้งที่สภาวะต่าง ๆ (ต่อ)

สภาวะอบแห้ง			ประสิทธิภาพทาง ความร้อน (%)	ปริมาณไอลีชีนที่เหลือ ภายหลังการอบแห้ง (%)
อุณหภูมิ (°C)	ความเร็วอากาศ (เมตร/วินาที)	ความชื้นเบด (เซนติเมตร)		
90	2.66	3	8.36	42.99
90	2.66	6	14.49	45.77
90	2.66	9	22.63	45.77
90	2.66	12	27.41	47.15
90	3.26	3	7.39	49.93
90	3.26	6	13.42	48.22
90	3.26	9	18.27	55.47
90	3.26	12	23.02	55.47
90	3.76	3	5.74	48.54
90	3.76	6	11.04	50.47
90	3.76	9	15.78	48.54
90	3.76	12	19.86	49.93
90	4.20	3	5.67	50.09
90	4.20	6	10.14	48.54
90	4.20	9	14.64	45.61
90	4.20	12	19.50	46.60

ภาคผนวก 7

การหาประสิทธิภาพทางความร้อน สามารถหาได้จากสมการ

$$Ef = \frac{\left[ \frac{W_1(X_1 - X_2) \Delta H_v}{100 - X_2} \right] + Cpm(W_2 T_f - W_1 T_o)}{60 p_s Q Cpg t_{td} (Tgi - Ta)} \times 100$$

จากสภาวะการอบแห้ง :

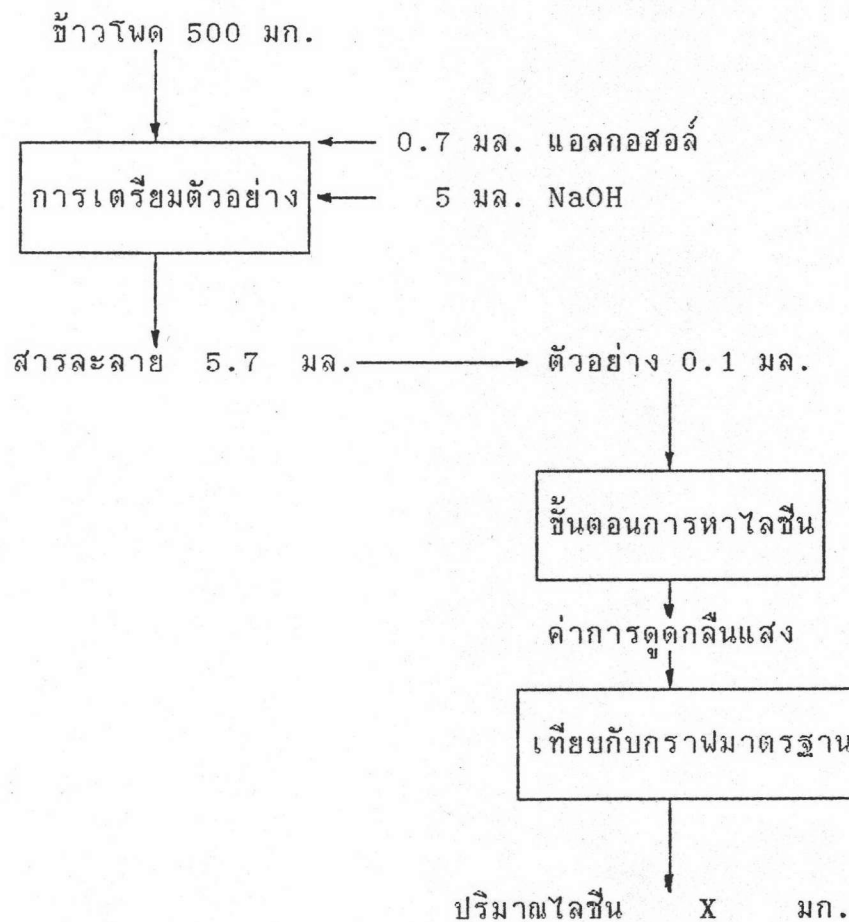
อุณหภูมิอากาศร้อน	80	$^{\circ}\text{C}$
ความเร็วอากาศ	3.26	ม./วินาที
ความสูงเบด	12	ซม.

จะได้ว่า	$W_1$	=	800	g
	$W_2$	=	703	g
	$X_1$	=	23.58	%
	$X_2$	=	13.04	%
	$\Delta H_v$	=	599.89	cal/g
	Cpm	=	0.517	cal/g $^{\circ}\text{C}$
	Cpg	=	0.25	cal/g $^{\circ}\text{C}$
	$T_o$	=	30	$^{\circ}\text{C}$
	$T_f$	=	76.3	$^{\circ}\text{C}$
	Ta	=	30	$^{\circ}\text{C}$
	Tgi	=	80	$^{\circ}\text{C}$
	Q	=	0.028	$\text{m}^3/\text{s}$
	$p_s$	=	600	$\text{g}/\text{m}^3$
	$t_{td}$	=	35	min

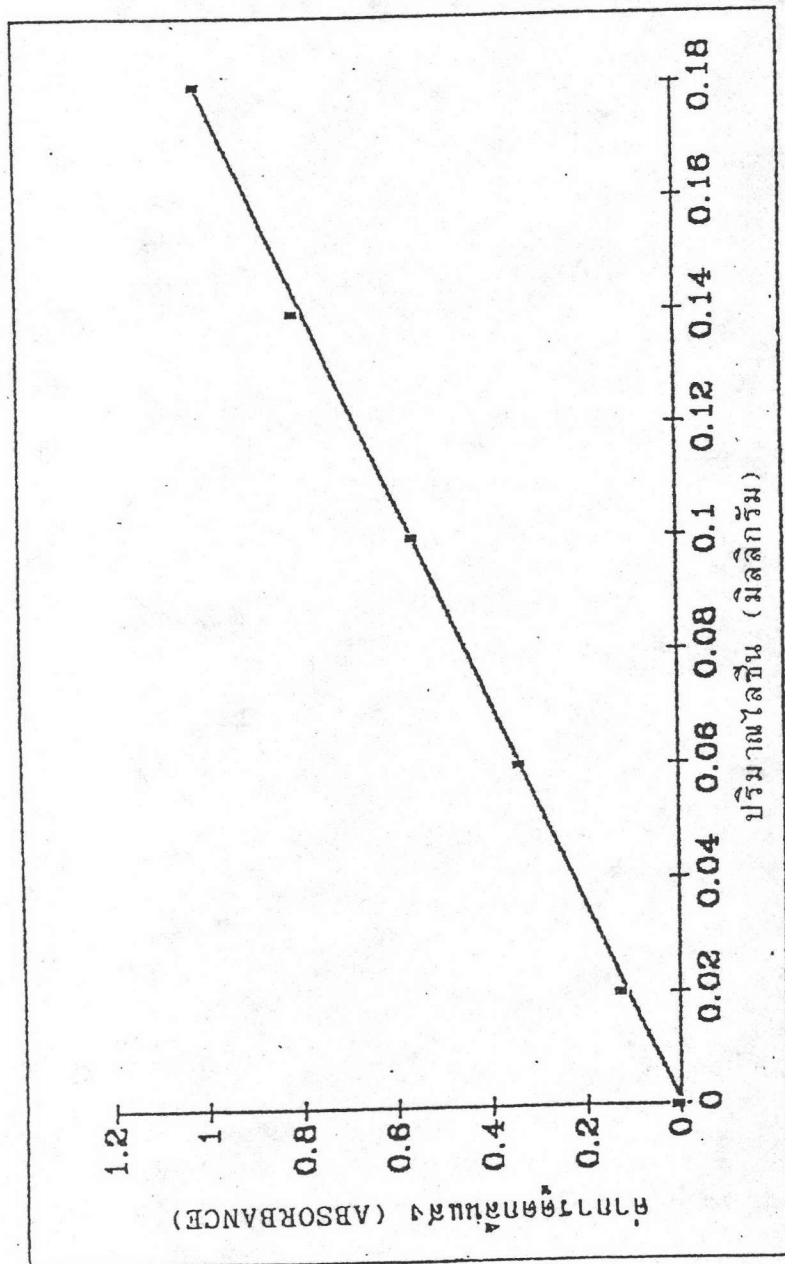
$$\text{จะได้ว่า } Ef = 16.53 \%$$

ภาคผนวก 8

การค่าナンวณหาปริมาณไอลชีน



รูปที่ 1 แสดงขั้นตอนการหาปริมาณไอลชีนในเมล็ดข้าวโพด



จากรูปที่ 1 จะได้ว่า

ปริมาณตัวอย่าง	0.1	มล.	มีไลซีน	X'	มก.
ตั้งนึนปริมาณตัวอย่าง	5.7	มล.	มีไลซีน	<u>5.7</u> X	มก.
				0.1	
เนื่องจาก ตัวอย่าง	5.7	มล.	มาจากการข้าวโพด	500	มก.
หรือ ข้าวโพด	500	มก.	มีไลซีน	57 X	มก.
ตั้งนึน ข้าวโพด	100	ก.	มีไลซีน	11.4 X	ก.

ตาราง 1 แสดงปริมาณไอลีชีนเริ่มต้น และสิ้นสุดการทดลอง

อุณหภูมิ (°C)	สภาพอบแห้ง		ปริมาณไอลีชีนเมื่อ เริ่มต้นอบแห้ง (ก./100 ก. ข้าวโพด)	ปริมาณไอลีชีนที่เหลือ <sup>ก</sup> ภายหลังการอบแห้ง (ก./100 ก. ข้าวโพด)
	ความเร็วอากาศ (เมตร/วินาที)	ความสูงเบด (เซนติเมตร)		
60	2.66	3	0.488	0.456
60	2.66	6	0.488	0.466
60	2.66	9	0.488	0.430
60	2.66	12	0.488	0.469
60	3.26	3	0.475	0.449
60	3.26	6	0.475	0.454
60	3.26	9	0.475	0.472
60	3.26	12	0.475	0.471
60	3.76	3	0.472	0.433
60	3.76	6	0.472	0.455
60	3.76	9	0.472	0.445
60	3.76	12	0.472	0.455
60	4.20	3	0.484	0.435
60	4.20	6	0.484	0.459
60	4.20	9	0.484	0.459
60	4.20	12	0.484	0.459

ตาราง 1 แสดงปริมาณไอลชีนเริ่มต้น และสัมฤทธิ์การทดลอง (ต่อ)

อุณหภูมิ (°C)	สภาพควบแห้ง		ปริมาณไอลชีนเมื่อ เริ่มต้นอบแห้ง (ก./100 ก. น้ำหนัก)	ปริมาณไอลชีนที่เหลือ <sup>ก</sup> ภายหลังการอบแห้ง (ก./100 ก. น้ำหนัก)
	ความเร็วอากาศ (เมตร/วินาที)	ความสูงเบด (เซนติเมตร)		
70	2.66	3	0.463	0.425
70	2.66	6	0.463	0.431
70	2.66	9	0.463	0.430
70	2.66	12	0.463	0.469
70	3.26	3	0.491	0.458
70	3.26	6	0.491	0.432
70	3.26	9	0.491	0.458
70	3.26	12	0.491	0.451
70	3.76	3	0.488	0.446
70	3.76	6	0.488	0.434
70	3.76	9	0.488	0.446
70	3.76	12	0.488	0.434
70	4.20	3	0.469	0.421
70	4.20	6	0.469	0.451
70	4.20	9	0.469	0.420
70	4.20	12	0.469	0.417

ตาราง 1 แสดงปริมาณไอลีนเริ่มต้น และสิ้นสุดการกรดออก (ต่อ)

อุณหภูมิ (°C)	สภาวะอบแห้ง		ปริมาณไอลีนเมื่อ เริ่มต้นอบแห้ง <sup>*</sup> (ก./100 ก. น้ำริบบิค)	ปริมาณไอลีนที่เหลือ <sup>*</sup> ภายหลังการอบแห้ง (ก./100 ก. น้ำริบบิค)
	ความเร็วของการสูญเสีย (%)	ความสูงเบด (เซนติเมตร)		
80	2.66	3	0.471	0.341
80	2.66	6	0.471	0.341
80	2.66	9	0.471	0.341
80	2.66	12	0.471	0.333
80	3.26	3	0.457	0.318
80	3.26	6	0.457	0.352
80	3.26	9	0.457	0.317
80	3.26	12	0.457	0.322
80	3.76	3	0.445	0.312
80	3.76	6	0.445	0.297
80	3.76	9	0.445	0.312
80	3.76	12	0.445	0.312
80	4.20	3	0.447	0.289
80	4.20	6	0.447	0.292
80	4.20	9	0.447	0.303
80	4.20	12	0.447	0.310

ตาราง 1 แสดงปริมาณไอลีชีนเริ่มต้น และสัมฤทธิ์การทดลอง (ต่อ)

สภาพของแท้			ปริมาณไอลีชีนเมื่อเริ่มต้นของแท้	ปริมาณไอลีชีนที่เหลือภายหลังการร้อนแท้
อุณหภูมิ (°C)	ความเร็วอากาศ (เมตร/วินาที)	ความสูงเบด (เซนติเมตร)	(ก./100 ก. ล้าวโพด)	(ก./100 ก. ข้าวโพด)
90	2.66	3	0.465	0.223
90	2.66	6	0.465	0.213
90	2.66	9	0.465	0.213
90	2.66	12	0.465	0.219
90	3.26	3	0.443	0.221
90	3.26	6	0.443	0.214
90	3.26	9	0.443	0.246
90	3.26	12	0.443	0.246
90	3.76	3	0.461	0.224
90	3.76	6	0.461	0.233
90	3.76	9	0.461	0.224
90	3.76	12	0.461	0.230
90	4.20	3	0.458	0.229
90	4.20	6	0.458	0.222
90	4.20	9	0.458	0.209
90	4.20	12	0.458	0.213

ประวัติผู้เขียน

นายวิรัตน์ วานิชย์ศรีรัตน์ เกิดเมื่อวันที่ 17 กรกฎาคม พ.ศ. 2508  
ที่จังหวัดกรุงเทพมหานคร จบปริญญา วิทยาศาสตรบัณฑิต (เทคโนโลยีชีวภาพ) จาก  
คณะอุตสาหกรรมเกษตร มหาวิทยาลัยเกษตรศาสตร์ ปี พ.ศ. 2530

